

# 一方向流と伴なう振動流の乱流遷移

東北大学 大学院 学生員 田中 仁  
東北大学 工学部 正員 香織伸夫

## 1. はじめに

壁面にはたらく摩擦力を知ることは、工学上、重要な事柄である。従来、定常流れ、および振動流れの場合については多くの研究が積み重ねられ、一概に推算は可能となっている。一方、両者が重畠する場合についての研究は稀である。近年、著者らは、滑粘性モデルを用いて、粗面乱流・滑面乱流の抵抗則を導いた<sup>1)</sup>。また、層流の抵抗則も容易に導かれた。ただし、ある水理条件、底質条件が与えられた時、そのケースが層流か乱流か、また、粗面か滑面かを判断する基準が存在せず、いずれの抵抗則を用いるべきかが不明である。

そこで、今回、風洞装置を用いて、乱流への遷移レイノルズ数を実験的に求めた。また、粗面・滑面・分類について、定常流れをもつて導用した。これにより、境界層の領域区分(slow regime)の判定が可能となる。

## 2. 実験装置

実験装置を図1に示す。風洞の半央K熱線流速計(エ型センサー)を挿入して流速を測定した。データ処理方法は、前報<sup>2)</sup>と同様である。

層流・乱流の判定は、レクチグラフに描かせた流速波形より判断した。従来、層流・乱流の区別は、間欠係数を用いてなされており、振動流れにおいては、乱れの発生消散が一周期内において一様ではなく、間欠係数の定義自体が困難である。 $\epsilon = \pi$ 、今回も、先述の様に流速波形、目標値によること。

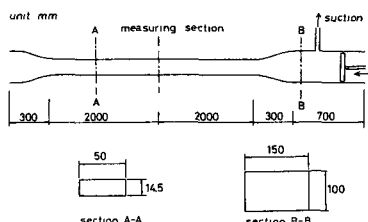


図1. 実験装置

## 3. 亂流への遷移について

平行壁間定常流の乱流遷移は、従来、レイノルズ数  $R_c = \bar{U}_c Z_h / V$  ( $\bar{U}_c$ : 定常流の断面平均流速,  $Z_h$ : 壁間距離の1/2,  $V$ : 動粘性係数)により表わされる。一方、振動流のケースでは、 $R_w = \bar{U}_w \sqrt{2\pi} \omega / V$  ( $\bar{U}_w$ : 振動流の断面平均流速の振幅,  $\omega$ : 角振動数)を用いて表示される。今回、実験結果にて、 $R_c$ ,  $R_w$  のいずれかを増すにつれて、層流から乱流へ遷移した。典型的な流速波形を図2, 3, 4に示した。

図2は層流状態であり、乱れは全く入っていない。流速分布は、層流理論解と良く一致している。壁面近傍においては位相の進みが認められ、振動流特有的先走り現象が見られる。図2の実験条件は、定常流速を幾分高めたため、図3のケースである。減速期に低周波、乱れが発生している。ただし、二つ乱れによる運動量輸送は顕著ではなく、層流解からのずれは小さい。一方、図2の条件で、ピストンの振幅を大きくした時の波形を図4に示す。

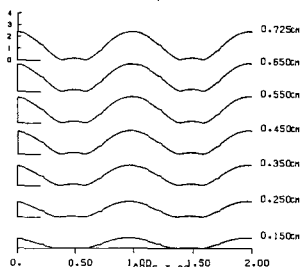


図2. 流速波形(層流)

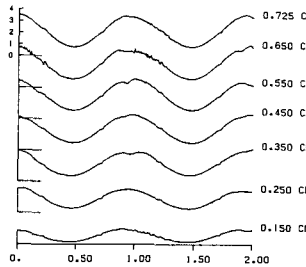


図3. 流速波形(低周波乱れ)

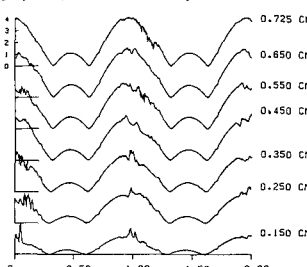


図4. 流速波形(高周波乱れ)

あり、減速期K高周波の乱れが発生している。これがより層流の流速分布が完全に破壊され、断面中央の減速し、壁面付近で増速する対数則型の分布へ変化している。加速期K入り口で、乱れは急速に消滅してしまう。以上の様に、速度変動が大別して2種類存在する点、および減速期K乱れが爆発的K発生する点等、日野ら<sup>3)</sup>によつて振動流のみのケースを得られた結果と一致している。

上述の事実を踏まえ、全実験データを①層流、②乱流(低周波乱れ)、③乱流(高周波乱れ)の3種に分類し、プロットしたのが図5である。日野ら<sup>3)</sup>によれば、振動流のみのケース、高周波乱れの発生限界は  $R_w = 550$  である。一方、Patel Head<sup>4)</sup>によれば、平行壁間定常流において、 $R_c = 100$  で層流抵抗則からはずれ、 $R_c = 1000$  で乱流抵抗則の成立域に入り、図5の軸、横軸付近のデータは、既に実験結果に漸近していることが認められる。

図5の3つの領域を区分する実験式として次式を得た。

$$\text{upper critical: } R_w^2 + 356 R_c = 3.70 \times 10^5 \quad \cdots \cdots (1)$$

$$\text{lower critical: } R_w^2 + 430 R_c = 2.88 \times 10^5 \quad \cdots \cdots (2)$$

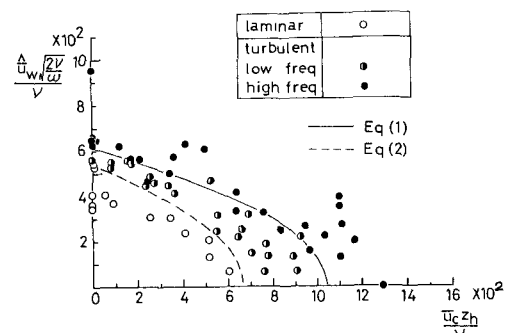


図5. 亂流への遷移限界

#### 4. flow regime および抵抗則

式(1)で  $R_w^2 = 2 \hat{U}_w^2 / (v \alpha)$  である。一方、波動擾乱層KにおけるU<sub>0</sub>は、 $R_a = \hat{U}_w \Delta m / v = \hat{U}_w^2 / (v \alpha)$  ( $\hat{U}_w$ :波動擾乱層の外線流速振幅、 $\Delta m$ :外線水粒子軌道振幅) であるから、 $\hat{U}_w = \hat{U}_w$  とおけば、 $R_w^2 = 2 R_a$  となり、管路流と開水路に対する応用が可能である。よって、式(1)は、

$$R_a + 178 R_c = 1.87 \times 10^5 \quad \cdots \cdots (3)$$

となる。また、粗面・滑面の分類条件としては、定常流のものと準用できる。以上Kより、flow regime の分類図、図6が得られる。=式(3)を用いて、抵抗則として図7を得た。

以上より、波流共存場において水理条件(底質条件等)をえたる時、図6で flow regime を判定し、各水流の領域に応じた抵抗則を用いれば、壁面剪断力の算定が可能である。

#### 5 結論

一方向流を伴なう振動流の乱流遷移限界として式(1)、式(2)を得た。また、境界層領域区分判定図、および抵抗則として、図6、7を提案する。

#### 《謝 謝》

本研究の装置製作、実験にあたり、東北大学工学部山路弘人技官には多大な助力を得た。また、本研究の一部は、文部省科学研究費(代表者 東工大日野幹雄教授)により行なわれた。これを記して謝意を表す。

#### 参考文献

- 1) Tanaka, H and N. Shuto: Coastal Engng in Japan, Vol 24, 1981.
- 2) 田中・首藤: 第29回海講講演集, 1982.
- 3) 日野・沢木・高須: 土木学会論大集, 第237号, 1975.
- 4) Patel, V.C. and M.R. Head: J.F.M., Vol. 34, 1968.

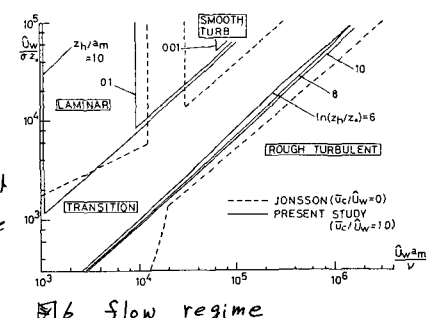


図6 flow regime

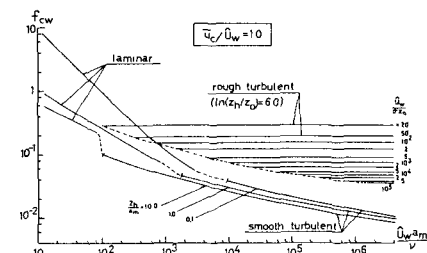


図7 抵抗則